

**UNIVERSIDADE FEDERAL DE MINAS GERAIS**  
**Escola de Engenharia**  
**Curso de Bacharelado em Engenharia de Sistemas**

Raphael Henrique Braga Leivas 2020028101

Milton Pereira Bravo Neto 2018072549

Daniel Felipe de Almeida Araújo 2023422617

**Trabalho Computacional 02 – Teoria da Decisão (ELE088)**

## SUMÁRIO

<b>1</b>	<b>MODELAGEM MULTIOBJETIVO</b>	<b>3</b>
1.1	Formulação Soma Ponderada $P_w$	3
1.2	Formulação $\epsilon$ -Restrito $P_\epsilon$	3
1.3	Normalização	4
<b>2</b>	<b>SOLUÇÃO VIA SIMPLEX</b>	<b>5</b>
<b>3</b>	<b>SOLUÇÃO VIA BVNS</b>	<b>6</b>
<b>4</b>	<b>ALGORITMOS</b>	<b>7</b>
4.1	BVNS - Basic Variable Neighborhood Search	7
4.2	Estratégias de Refinamento	8
4.3	Heurística Construtiva	9
<b>5</b>	<b>RESULTADOS E DISCUSSÃO</b>	<b>10</b>
5.1	Problema 1	10
5.2	Problema 2	10
5.3	Comparação de Estratégias de Refinamento	11
<b>6</b>	<b>REFERÊNCIAS</b>	<b>13</b>

## 1 MODELAGEM MULTIOBJETIVO

No TC01, modelamos duas funções objetivo:

- $f_1(\cdot)$ : minimização do custo de manutenção total
- $f_2(\cdot)$ : minimização do custo esperado de falha total

definidas por

$$\min f_1 = \sum_{i=1}^N \sum_{j=1}^J c_j x_{ij}$$

$$\min f_2 = \sum_{i=1}^N \sum_{j=1}^J p_{ij} d_i x_{ij}$$

$x_{ij}$  : se o equipamento  $i$  executa a manutenção  $j$

sujeito a

$$\sum_{j=1}^J x_{ij} = 1 \quad , \quad \forall i = 1, 2, \dots, N$$

$$x_{ij} \in \{0, 1\} \quad , \quad i = \{1, 2, \dots, N\} \quad , \quad j = \{1, 2, \dots, J\}$$

Considerando agora esse problema multiobjetivo, podemos aplicar duas abordagens escalares para obter a fronteira Pareto-ótima no espaço de objetivos, descritas a seguir.

### 1.1 Formulação Soma Ponderada $P_w$

Seja  $0 \leq w \leq 1$  um peso qualquer gerado aleatoriamente de uma distribuição uniforme no intervalo  $[0, 1]$ . Usando a abordagem da soma ponderada, podemos escrever nosso problema multiobjetivo na forma:

$$\min w f_1 + (1 - w) f_2$$

### 1.2 Formulação $\epsilon$ -Restrito $P_\epsilon$

Com a abordagem do  $\epsilon$ -Restrito, vamos minimizar apenas  $f_1$  usando  $f_2$  como restrição. Seja  $\epsilon_2$  um real qualquer tal que  $\min f_2 \leq \epsilon_2 \leq \max f_2$ . Temos

$$\min f_1 \tag{1.1}$$

sujeito a

$$f_2 \leq \epsilon_2$$

$$\sum_{j=1}^J x_{ij} = 1 \quad , \quad \forall i = 1, 2, \dots, N$$

$$x_{ij} \in \{0, 1\} \quad , \quad i = \{1, 2, \dots, N\} \quad , \quad j = \{1, 2, \dots, J\}$$

### 1.3 Normalização

Para garantir que as abordagens escalares sejam condizentes, precisamos normalizar  $f_1$  e  $f_2$  através de

$$f_1(\mathbf{x}) = \frac{f_1(\mathbf{x}) - \min f_1}{\max f_1 - \min f_1} \quad , \quad f_2(\mathbf{x}) = \frac{f_2(\mathbf{x}) - \min f_2}{\max f_2 - \min f_2}$$

A partir do tabalho realizado no TC01, já sabemos que

$$\min f_1 = 0 \quad , \quad \max f_1 = 1000 \quad , \quad \min f_2 = 1048.17 \quad , \quad \max f_2 = 1745.49$$

## 2 SOLUÇÃO VIA SIMPLEX

### **3 SOLUÇÃO VIA BVNS**

## 4 ALGORITMOS

### 4.1 BVNS - Basic Variable Neighborhood Search

O Algoritmo 1 mostra a versão do BVNS implementada no trabalho.

---

**Algoritmo 1** BVNS implementado no trabalho.

---

```

1: procedure BVNS( $\mathbf{x}$ ,  $k_{\max}$ )
2:   while num_sol_avaliables < max_sol_avaliables do
3:      $k \leftarrow 1$ 
4:     while  $k < k_{\max}$  do
5:        $\mathbf{x}' \leftarrow \text{SHAKE}(\mathbf{x}, k)$ 
6:        $\mathbf{x}'' \leftarrow \text{FIRSTIMPROVEMENT}(\mathbf{x}, \mathbf{x}', k)$ 
7:        $\mathbf{x}, k \leftarrow \text{NEIGHBORHOODCHANGE}(\mathbf{x}, \mathbf{x}'', k)$ 
8:     end while
9:   end while
10: end procedure

```

---

O Algoritmo 2 mostra a função Shake. Nela estão definidas as três estruturas de vizinhança escolhidas para implementação. As duas primeiras são vizinhanças de refinamento, mas com abordagens diferentes. E a terceira é uma vizinhança de perturbação para buscar sair de mínimos locais:

- A primeira estrutura é o que chamamos de um movimento de *1-swap*, onde é escolhido aleatoriamente um equipamento e trocado seu plano para um dos outros dois restantes, a escolha do plano também é aleatória.
- A segunda estrutura é a troca ou permutação dos planos de dois equipamentos diferentes escolhidos também aleatoriamente.
- A terceira estrutura por sua vez, altera um bloco de 50 equipamentos em sequência, onde o início do bloco é aleatório. Nesse bloco é avaliado qual o plano mais comum e troca-se o plano de manutenção de todos os integrantes do bloco para um mesmo plano, diferente do mais comum encontrado anteriormente.

---

**Algoritmo 2** Função Shake.

▷ Gera uma solução aleatória na  $k$ -ésima estrutura de vizinhança.

```

1: procedure SHAKE( $\mathbf{x}$ ,  $k$ )
2:   if  $k = 1$  then
3:      $\mathbf{y} \leftarrow$  1-swap
4:   end if
5:   if  $k = 2$  then
6:      $\mathbf{y} \leftarrow$  Permutação de dois planos de manutenção
7:   end if
8:   if  $k = 3$  then
9:      $\mathbf{y} \leftarrow$  Mudança de um bloco de equipamentos para outro plano
10:  end if

11:  return  $\mathbf{y}$ 
12: end procedure

```

---

#### 4.2 Estratégias de Refinamento

O Algoritmo 3 mostra a função de busca local implementada após gerar uma solução aleatória com o Shake. Ela basicamente realiza uma busca em até  $N = 100$  vizinhos à solução inicial  $\mathbf{x}'$  do Shake, e retorna a primeira solução  $\mathbf{x}''$  cujo valor da solução objetivo é menor do que o valor do objetivo na solução inicial  $\mathbf{x}'$  do Shake. Caso nenhuma solução melhor é encontrada, retorna a solução inicial  $\mathbf{x}'$ .

---

**Algoritmo 3** Função FirstImprovement.

▷ Busca uma primeira solução na vizinhança de  $\mathbf{x}'$  melhor que  $\mathbf{x}'$ .

```

1: procedure FIRSTIMPROVEMENT( $\mathbf{x}'$ ,  $k$ )
2:    $N \leftarrow 100$ 
3:   for all  $i$  in range( $N$ ) do
4:      $\mathbf{x}'' \leftarrow$  SHAKE( $\mathbf{x}'$ ,  $k$ )
5:     if  $f(\mathbf{x}'') < f(\mathbf{x}')$  then
6:       return  $\mathbf{x}''$ 
7:     end if
8:   end for

9:   return  $\mathbf{x}'$ 
10: end procedure

```

---

É possível fazer uma pequena modificação no Algoritmo 3 para obter o Best Improvement, exibido no Algoritmo 4. Note que essa função sempre executa as  $N$  buscas por uma melhor solução, e portanto o código é mais caro computacionalmente que no Algoritmo 3. No entanto, em geral, a solução encontrada pelo BestImprovement será melhor que a do FirstImprovement.



---

**Algoritmo 4** Função BestImprovement.

▷ Busca a melhor solução na vizinhança de  $\mathbf{x}'$  melhor que  $\mathbf{x}'$ .

```

1: procedure BESTIMPROVEMENT( $\mathbf{x}'$ ,  $k$ )
2:    $N \leftarrow 100$ 
3:    $\mathbf{x\_melhor} \leftarrow \mathbf{x}'$ 
4:   for all  $i$  in range( $N$ ) do
5:      $\mathbf{x}'' \leftarrow \text{SHAKE}(\mathbf{x}', k)$ 
6:     if  $f(\mathbf{x}'') < f(\mathbf{x\_melhor})$  then
7:        $\mathbf{x\_melhor} \leftarrow \mathbf{x}''$ 
8:     end if
9:   end for

10:  return  $\mathbf{x\_melhor}$ 
11: end procedure

```

---

### 4.3 Heurística Construtiva

O Algoritmo 5 mostra a heurística construtiva utilizada para a criação da solução inicial. Basicamente o problema se reduz em escolher um plano de manutenção, dentre os três disponíveis, para cada equipamento minimizando o custo da manutenção e o custo de falha dos equipamentos. A minimização do custo da manutenção se dá escolhendo a manutenção mais barata para todos os equipamentos, e a minimização do custo de falha escolhendo a manutenção mais cara.

Olhando para o segundo problema, temos a matriz de custos de falha  $p_{ij}d_i$  onde  $i$  é cada equipamento e  $j$  os planos de manutenção. Para cada equipamento  $i$  fixo avalia-se a variância de  $p_{ij}d_i$  e caso esse valor seja maior que o limiar de 0.5 escolhe a manutenção mais cara para compor a solução inicial daquele equipamento, caso seja menor que o limiar é escolhida a manutenção mais barata.

A lógica envolvida é que se o custo de falha não varia tanto para aquele equipamento, não é necessário a manutenção mais cara.

---

**Algoritmo 5** Heurística construtiva para gerar a solução inicial.

```

1: procedure SOLUCAOINICIAL()
2:    $\mathbf{x} \leftarrow$  Solução aleatória
3:   for all  $i$  in  $\mathbf{x}$  do
4:     if  $\text{variancia}(p_{ij}d_i) \geq \text{limiar}$  then
5:        $\mathbf{x}[i] \leftarrow$  Manutenção mais cara
6:     else
7:        $\mathbf{x}[i] \leftarrow$  Manutenção mais barata
8:     end if
9:   end for

10:  return  $\mathbf{x}$ 
11: end procedure

```

---

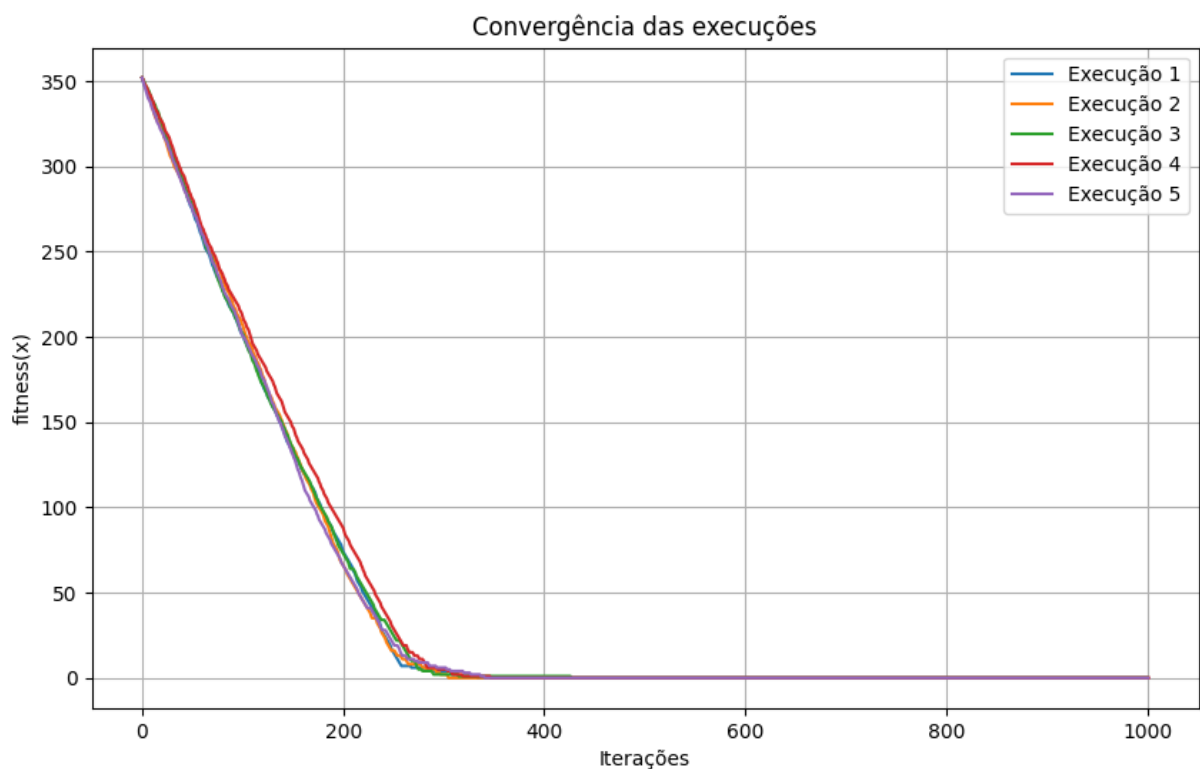
## 5 RESULTADOS E DISCUSSÃO

### 5.1 Problema 1

A Figura 1 mostra a convergência de 5 execuções do BVNS para o Problema 1 Isolado. A solução final encontrada foi

$$\mathbf{x}^* = \begin{bmatrix} 0 & 0 & 0 & \cdots & 0 \end{bmatrix}, \quad f(\mathbf{x}^*) = 0 \pm 0$$

Figura 1 – Convergência do BVNS implementado para o Problema 1 Isolado.



Fonte: elaboração própria.

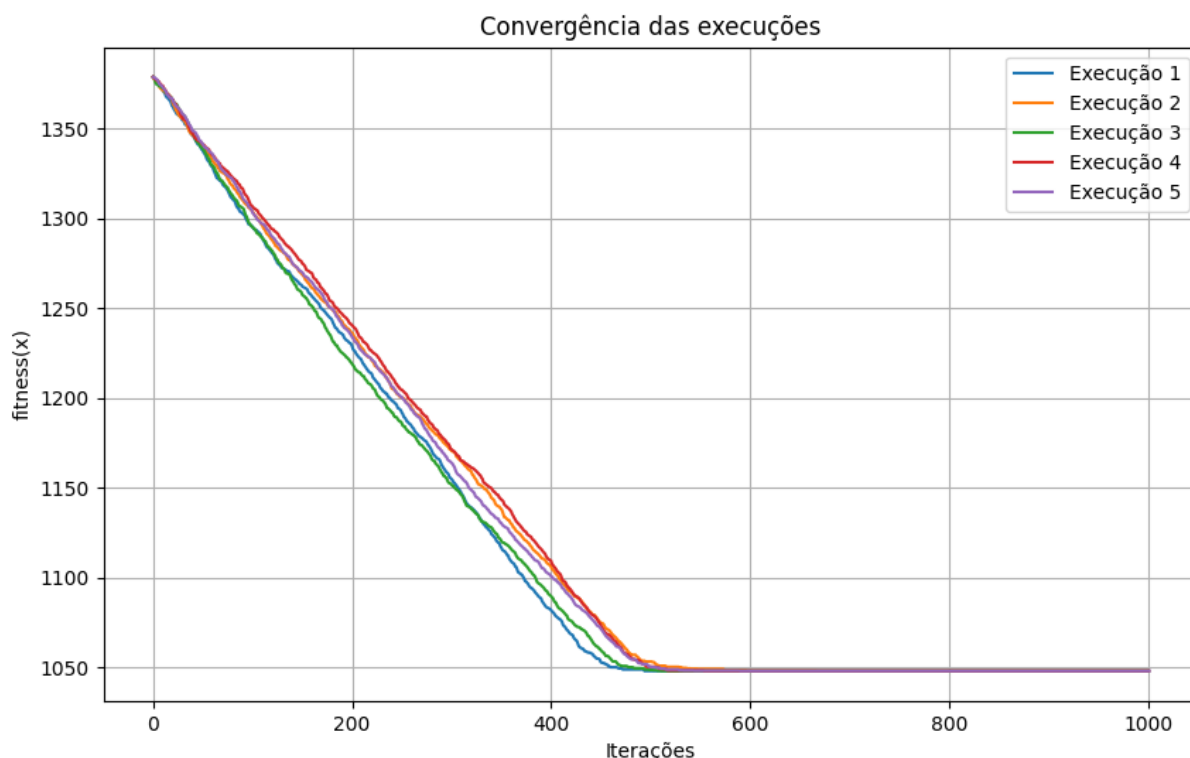
Vemos que o algoritmo converge após 300 iterações para a solução ótima global, que já sabemos a priori uma vez que o problema modelado tem solução trivial. Cada iteração gastou em média 5 segundos para executar.

### 5.2 Problema 2

A Figura 2 mostra a convergência de 5 execuções para o Problema 2. A solução final encontrada foi

$$\mathbf{x}^* = \begin{bmatrix} 2 & 2 & 2 & \cdots & 2 \end{bmatrix}, \quad f(\mathbf{x}^*) = 1048.2 \pm 0$$

Figura 2 – Convergência do BVNS implementado para o Problema 1 Isolado.



Fonte: elaboração própria.

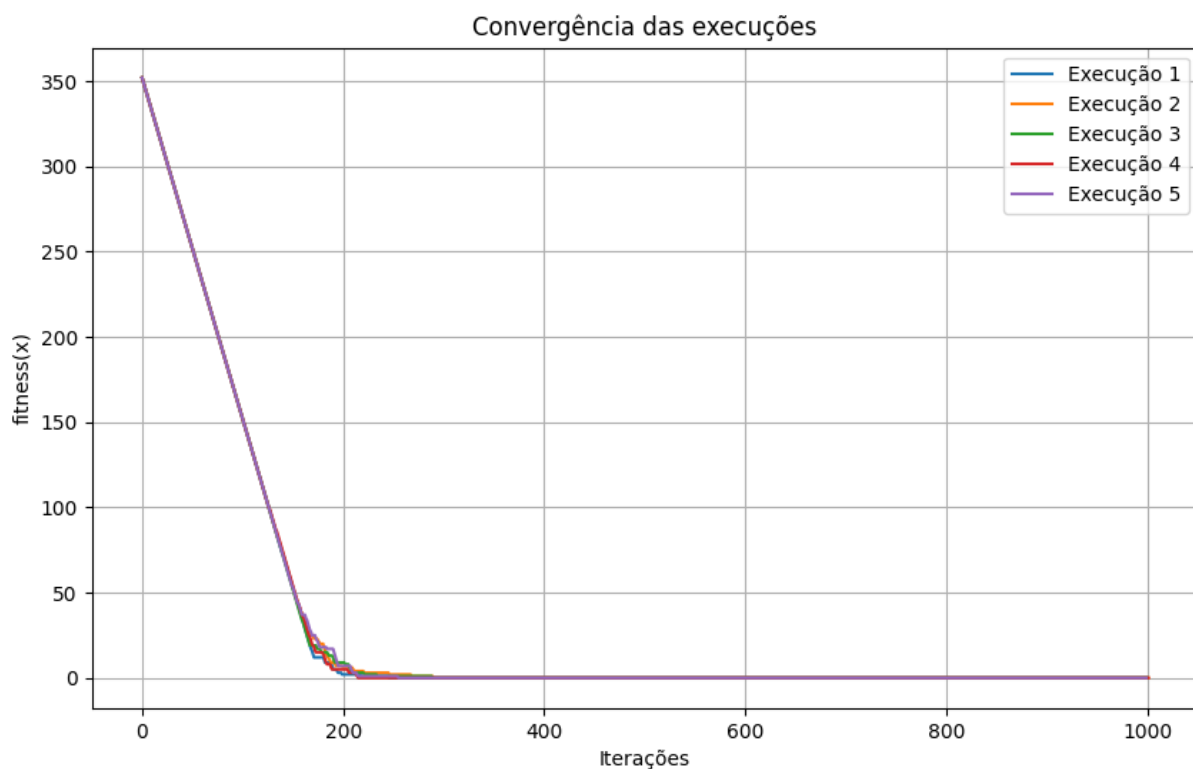
De forma similar ao Problema 2, vemos que o algoritmo converge após 500 iterações para a solução ótima global dada pelo Simplex. Cada iteração gastou em média 12 segundos para executar.

### 5.3 Comparação de Estratégias de Refinamento

As convergências das Figuras 1 e 2 foram obtidas usando o BVNS com o FirstImprovement. Com o BestImprovement, obtemos as convergências das Figuras 3 e 4 para os Problemas 1 e 2, respectivamente.

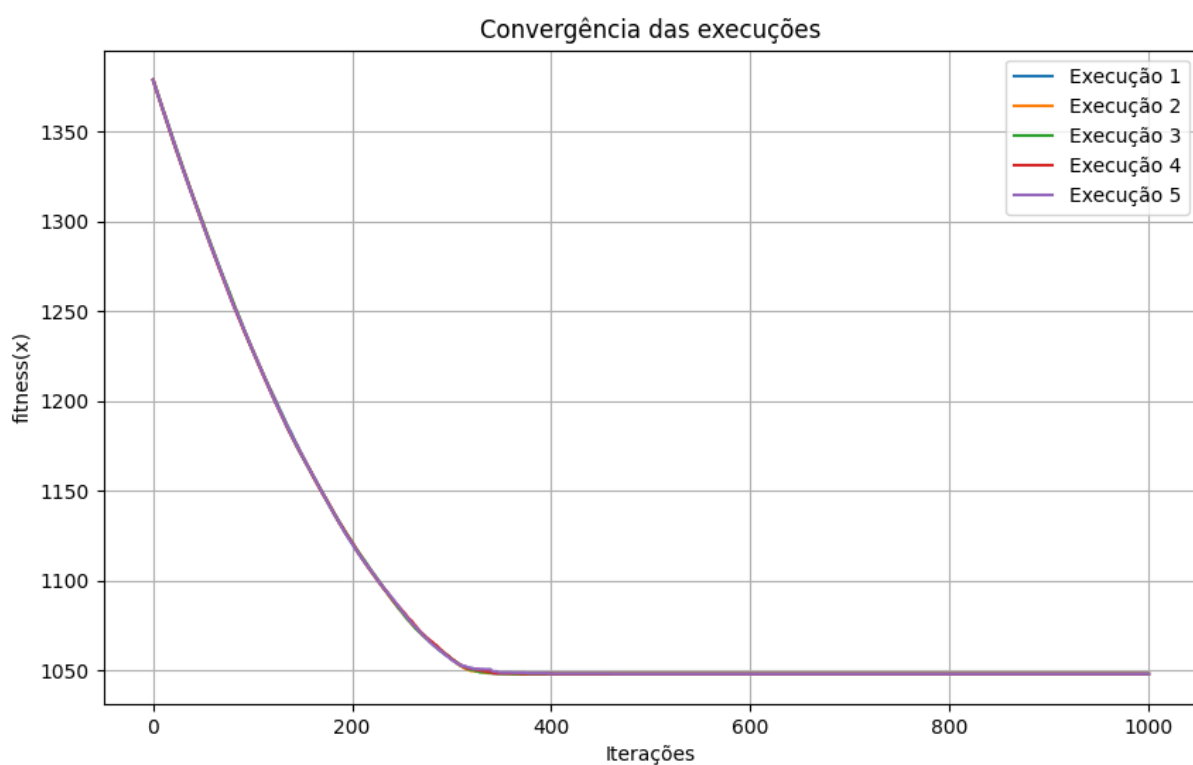
Vemos que com o BestImprovement o algoritmo converge com menos iterações quando comparado com o FirstImprovement: antes precisava de 300 e 500 iterações respectivamente; agora converge em 200 e 300. Contudo, ele gasta mais tempo para executar uma vez que o custo computacional de cada iteração é maior. Em particular, o Problema 2 gasta mais de 40 segundos por execução com o Best Improvement, sendo que antes gastava apenas 12. Não obstante, ambas estratégias convergiram para a mesma solução ótima global.

Figura 3 – Convergência do BVNS implementado para o Problema 1 usando a Best Improvement.



Fonte: elaboração própria.

Figura 4 – Convergência do BVNS implementado para o Problema 2 usando a Best Improvement.



Fonte: elaboração própria.

## **6 REFERÊNCIAS**

M. Gendreau, J.-Y. Potvin (eds.), *Handbook of Metaheuristics*, Springer, 2nd ed., 2010.